

Neuronale Netze/Deep Learning und Predictive Maintenance

Felix Neubürger

08. January 2026

Fachhochschule Südwestfalen, Ingenieurs- & Wirtschaftswissenschaften

Inhalte der Vorlesung

- **Mathematischer Refresher:** Lineare Algebra, Differentiation, Notation
- **Grundlagen Neuronaler Netze:** Perceptron, Universal Approximation Theorem
- **Mathematische Theorie:** Warum funktionieren neuronale Netze?
- **Training und Optimierung:** Gradientenabstieg, Backpropagation, ADAM
- **Deep Learning:** Vanishing Gradients, Aktivierungsfunktionen, tiefe Netze
- **Spezielle Architekturen:** CNNs, RNNs, LSTMs, GANs, Autoencoders



Ziele der Vorlesung - Welche Fragen sollen beantwortet werden?

- **Mathematisch:** Wie funktionieren neuronale Netze wirklich?
- **Theoretisch:** Warum können sie jede Funktion approximieren?
- **Praktisch:** Wie trainiert man sie effizient?
- **Architektur:** Welche speziellen Netze für welche Probleme?
- **Anwendung:** Wann ist Deep Learning die richtige Wahl?



[<https://xkcd.com/2451/>]

Mathematischer Refresher – Vektoren und Matrizen

- **Vektor:** Spaltenvektor $\mathbf{x} \in \mathbb{R}^d$ mit d Komponenten

$$\mathbf{x} = \begin{pmatrix} x_1 \\ x_2 \\ \vdots \\ x_d \end{pmatrix} \quad (1)$$

- **Zeilenvektor:** $\mathbf{x}^T = (x_1, x_2, \dots, x_d)$ (Transponiert)
- **Matrix:** $\mathbf{A} \in \mathbb{R}^{m \times n}$ mit m Zeilen und n Spalten

$$\mathbf{A} = \begin{pmatrix} a_{11} & a_{12} & \cdots & a_{1n} \\ a_{21} & a_{22} & \cdots & a_{2n} \\ \vdots & \vdots & \ddots & \vdots \\ a_{m1} & a_{m2} & \cdots & a_{mn} \end{pmatrix} \quad (2)$$



Mathematischer Refresher – Grundoperationen

- **Skalarprodukt** (Dot Product): Für $\mathbf{x}, \mathbf{y} \in \mathbb{R}^d$

$$\mathbf{x}^T \mathbf{y} = \mathbf{x} \cdot \mathbf{y} = \sum_{i=1}^d x_i y_i \quad (3)$$

- **Matrix-Vektor-Multiplikation**: $\mathbf{A} \in \mathbb{R}^{m \times n}$, $\mathbf{x} \in \mathbb{R}^n$

$$\mathbf{y} = \mathbf{Ax} \in \mathbb{R}^m, \quad y_i = \sum_{j=1}^n a_{ij} x_j \quad (4)$$

- **Matrix-Matrix-Multiplikation**: $\mathbf{A} \in \mathbb{R}^{m \times k}$, $\mathbf{B} \in \mathbb{R}^{k \times n}$

$$\mathbf{C} = \mathbf{AB} \in \mathbb{R}^{m \times n}, \quad c_{ij} = \sum_{\ell=1}^k a_{i\ell} b_{\ell j} \quad (5)$$

- **Elementweise Operationen**: Hadamard-Produkt $\mathbf{A} \odot \mathbf{B}$

$$(\mathbf{A} \odot \mathbf{B})_{ij} = a_{ij} \cdot b_{ij} \quad (6)$$

Mathematischer Refresher – Normen und Abstände

- **Euklidische Norm:** $\|\mathbf{x}\|_2 = \sqrt{\sum_{i=1}^d x_i^2}$ (Länge des Vektors)
- **L1-Norm:** $\|\mathbf{x}\|_1 = \sum_{i=1}^d |x_i|$ (Manhattan-Distanz)
- **Unendlich-Norm:** $\|\mathbf{x}\|_\infty = \max_i |x_i|$ (Maximum-Norm)
- **Frobenius-Norm** (für Matrizen): $\|\mathbf{A}\|_F = \sqrt{\sum_{i,j} a_{ij}^2}$
- **Einheitsvektor:** \mathbf{u} mit $\|\mathbf{u}\|_2 = 1$
- **Orthogonale Vektoren:** $\mathbf{x} \perp \mathbf{y}$ wenn $\mathbf{x}^T \mathbf{y} = 0$
- **Linearkombination:** $\mathbf{y} = \alpha_1 \mathbf{x}_1 + \alpha_2 \mathbf{x}_2 + \dots + \alpha_k \mathbf{x}_k$

Mathematischer Refresher – Differentiation und Gradienten

- **Partielle Ableitung:** Für $f : \mathbb{R}^n \rightarrow \mathbb{R}$

$$\frac{\partial f}{\partial x_i} = \lim_{h \rightarrow 0} \frac{f(\mathbf{x} + h\mathbf{e}_i) - f(\mathbf{x})}{h} \quad (7)$$

- **Gradient:** Vektor aller partiellen Ableitungen

$$\nabla f(\mathbf{x}) = \begin{pmatrix} \frac{\partial f}{\partial x_1} \\ \frac{\partial f}{\partial x_2} \\ \vdots \\ \frac{\partial f}{\partial x_n} \end{pmatrix} \quad (8)$$

- **Kettenregel:** Für $f(g(x))$

$$\frac{d}{dx} f(g(x)) = f'(g(x)) \cdot g'(x) \quad (9)$$

- **Multivariable Kettenregel:** Für $f(\mathbf{u}(\mathbf{x}))$

$$\frac{\partial f}{\partial x_i} = \sum_j \frac{\partial f}{\partial u_j} \frac{\partial u_j}{\partial x_i} = \nabla_{\mathbf{u}} f \cdot \frac{\partial \mathbf{u}}{\partial x_i} \quad (10)$$

Mathematischer Refresher – Wichtige Funktionen und Eigenschaften

■ **Exponentialfunktion:** e^x , Ableitung: $\frac{d}{dx} e^x = e^x$

■ **Logarithmus:** $\ln(x)$, Ableitung: $\frac{d}{dx} \ln(x) = \frac{1}{x}$

■ **Sigmoid-Funktion:** $\sigma(x) = \frac{1}{1+e^{-x}}$

$$\sigma'(x) = \sigma(x)(1 - \sigma(x)) \quad (11)$$

■ **Quadratische Funktion:** $f(x) = ax^2 + bx + c$, Ableitung: $f'(x) = 2ax + b$

■ **Produktregel:** $(fg)' = f'g + fg'$

■ **Summenregel:** $(f + g)' = f' + g'$

■ **Konstante Faktoren:** $(cf)' = cf'$ für Konstante c



Mathematische Notation – Überblick für diese Vorlesung

- **Skalare:** Kleinbuchstaben a, b, c, x, y, z
- **Vektoren:** Fettgedruckte Kleinbuchstaben $\mathbf{x}, \mathbf{y}, \mathbf{w}, \mathbf{b}$
- **Matrizen:** Fettgedruckte Großbuchstaben $\mathbf{A}, \mathbf{W}, \mathbf{X}$
- **Funktionen:** f, g, h, L (Verlustfunktion)
- **Aktivierungsfunktionen:** σ , ReLU, tanh
- **Indizes:**
 - i, j, k : Datenindizes, Neuron-Indizes
 - (ℓ) : Schicht-Index, z.B. $\mathbf{W}^{(\ell)}$
 - (t) : Zeit-/Iterationsindex, z.B. $\mathbf{w}^{(t)}$
- **Wahrscheinlichkeiten:** $P, p, \mathbb{E}[\cdot]$ (Erwartungswert)
- **Approximation:** \approx , Proportionalität: \propto

Was sind Neuronale Netze und was ist Deep Learning?

- Abstrakt: Verkettung nichtlinearer Abbildungen
- Die Parameter dieser Abbildungen wird mit vorhandenen Daten "gelernt"
- Verschiedene Optimierungsverfahren zur Festlegung der "besten" Parameter



[<https://xkcd.com/1838/>]

Warum funktionieren Neuronale Netze? – Mathematische Intuition

- **Grundproblem:** Finde eine Funktion $f : \mathbb{R}^d \rightarrow \mathbb{R}^k$, die Eingaben \mathbf{x} auf gewünschte Ausgaben \mathbf{y} abbildet
- **Funktionsapproximation:** Neuronale Netze sind universelle Funktionsapproximatoren
- **Komposition einfacher Funktionen:**

$$f(\mathbf{x}) = f_L \circ f_{L-1} \circ \dots \circ f_2 \circ f_1(\mathbf{x}) \quad (12)$$

- Jede Schicht f_i führt eine **affine Transformation** gefolgt von **Nichtlinearität** aus:

$$f_i(\mathbf{x}) = \sigma_i(\mathbf{W}_i \mathbf{x} + \mathbf{b}_i) \quad (13)$$

- **Warum Nichtlinearität wichtig ist:** Ohne sie wäre das gesamte Netz nur eine lineare Transformation

$$\mathbf{W}_L(\mathbf{W}_{L-1}(\dots(\mathbf{W}_1 \mathbf{x}))) = (\mathbf{W}_L \mathbf{W}_{L-1} \dots \mathbf{W}_1) \mathbf{x} = \mathbf{W}_{\text{eff}} \mathbf{x} \quad (14)$$



Warum funktionieren Neuronale Netze? – Universal Approximation Theorem

- **Universal Approximation Theorem [1, 2]:**
- Ein Feedforward-Netz mit einer versteckten Schicht kann jede stetige Funktion auf einem kompakten Definitionsbereich beliebig genau approximieren
- **Mathematische Formulierung:** Sei $\sigma : \mathbb{R} \rightarrow \mathbb{R}$ eine nicht-konstante, beschränkte und monotone Aktivierungsfunktion. Dann kann für jede stetige Funktion $g : [0, 1]^d \rightarrow \mathbb{R}$ und $\epsilon > 0$ eine Funktion

$$F(\mathbf{x}) = \sum_{i=1}^N \alpha_i \sigma(\mathbf{w}_i^T \mathbf{x} + b_i) \quad (15)$$

gefunden werden, sodass $|F(\mathbf{x}) - g(\mathbf{x})| < \epsilon$ für alle $\mathbf{x} \in [0, 1]^d$

- **Praktische Bedeutung:**
 - Theoretisch können neuronale Netze jede Funktion lernen
 - Problem: Anzahl der benötigten Neuronen kann exponentiell wachsen
 - Deep Learning: Mehr Schichten können effizienter sein als breitere Netze



Die Mathematik des Lernens – Warum Gradientenabstieg funktioniert

- **Optimierungsproblem:** Minimiere Verlustfunktion $L(\theta)$ über Parameter θ
- **Gradientenabstieg basiert auf Taylor-Entwicklung:**

$$L(\theta + \Delta\theta) \approx L(\theta) + \nabla L(\theta)^T \Delta\theta \quad (16)$$

- Um L zu minimieren, wähle $\Delta\theta = -\eta \nabla L(\theta)$ (mit $\eta > 0$)
- **Warum funktioniert das?** Für kleine η :

$$L(\theta - \eta \nabla L(\theta)) \approx L(\theta) - \eta \|\nabla L(\theta)\|^2 \quad (17)$$

$$\leq L(\theta) \quad (18)$$

- **Konvergenz-Eigenschaften:**

- Für konvexe Funktionen: Garantierte Konvergenz zum globalen Minimum
- Für nicht-konvexe Funktionen (neuronale Netze): Konvergenz zu lokalen Minima
- **Überraschung:** Lokale Minima sind oft "gut genug" für praktische Anwendungen

Konstruktion von Neuronalen Netzen: Single-Layer-Perceptron

- Einfacher binärer Klassifikator mit Aktivierungsfunktion

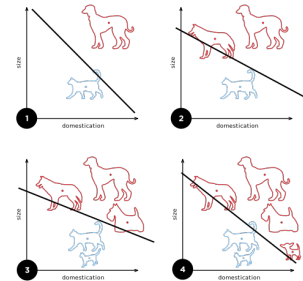
$$f(\mathbf{x}) = \begin{cases} 1 & \text{if } \mathbf{w}^T \mathbf{x} + b \geq \theta, \\ 0 & \text{otherwise} \end{cases} \quad (19)$$

- mit dem Gewichtsvektor $\mathbf{w} \in \mathbb{R}^d$,
Eingabevektor $\mathbf{x} \in \mathbb{R}^d$,
Bias $b \in \mathbb{R}$ und Schwellwert θ
- Das Skalarprodukt: $\mathbf{w}^T \mathbf{x} = \sum_{i=1}^d w_i x_i$
- Entscheidungsgrenze im 2D-Fall ($d = 2$): Gerade mit Gleichung

$$w_1 x_1 + w_2 x_2 + b = \theta \quad (20)$$

$$x_2 = -\frac{w_1}{w_2} x_1 - \frac{b - \theta}{w_2} \quad (21)$$

- Geometrische Interpretation: Hyperebene teilt den \mathbb{R}^d in zwei Halbräume
- Linear separierbare Probleme:
Klassen können durch Hyperebene getrennt werden



Perceptron Training: Lernalgorithmus

- **Gegeben:** Trainingsdaten $D = \{(\mathbf{x}_i, y_i)\}_{i=1}^n$ mit $y_i \in \{-1, +1\}$

- Perceptron-Lernregel [3]:

$$\mathbf{w}^{(t+1)} = \mathbf{w}^{(t)} + \eta \sum_{(\mathbf{x}_i, y_i) \in F^{(t)}} y_i \mathbf{x}_i$$

- **Fehlklassifizierungen:**

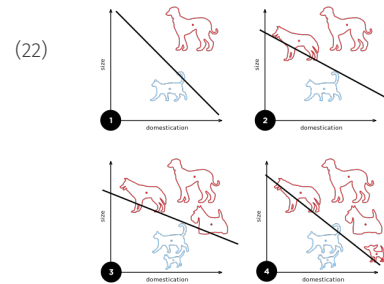
$$F^{(t)} = \{(\mathbf{x}_i, y_i) : y_i (\mathbf{w}^{(t)T} \mathbf{x}_i) \leq 0\}$$

- **Algorithmus:**

1. Initialisiere $\mathbf{w}^{(0)} = \mathbf{0}$
2. Für jede Fehlklassifikation: Update \mathbf{w}
3. Wiederhole bis Konvergenz

- **Konvergenz-Garantie:**

Für linear separierbare Daten konvergiert in endlich vielen Schritten



Gradientenabstieg: Allgemeines Optimierungsverfahren

- **Grundprinzip:** Iterative Minimierung der Verlustfunktion

- **Update-Regel:**

$$\theta^{(t+1)} = \theta^{(t)} - \eta \nabla_{\theta} L(\theta^{(t)})$$

- **Parameter:**

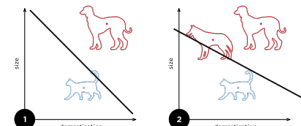
- $\eta > 0$: Lernrate (Schrittweite)
- θ : Parametervektor (Gewichte)
- ∇L : Gradient der Verlustfunktion

- **Intuition:** Gradient zeigt bergauf $\rightarrow -\nabla L$ zeigt zum Minimum

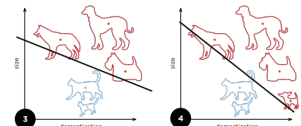
- **Perceptron-Gradient:**

$$\nabla_{\mathbf{w}} L = - \sum_{(\mathbf{x}_i, y_i) \in F} y_i \mathbf{x}_i$$

(23)



(24)



Grenzen des Single-Layer-Perceptrons – Das XOR-Problem

- **Fundamentale Limitation:** Perceptron kann nur linear separierbare Probleme lösen
- **XOR-Problem [4]:**

x_1	x_2	XOR
0	0	0
0	1	1
1	0	1
1	1	0

- **Mathematischer Beweis der Unmöglichkeit:**

- Angenommen, es existiert $\mathbf{w} = (w_1, w_2)$ und b , sodass:

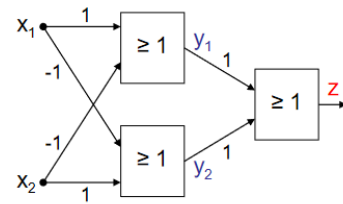
$$w_1 \cdot 0 + w_2 \cdot 1 + b > 0 \quad (\text{für } (0,1)) \quad (25)$$

$$w_1 \cdot 1 + w_2 \cdot 0 + b > 0 \quad (\text{für } (1,0)) \quad (26)$$

$$w_1 \cdot 0 + w_2 \cdot 0 + b \leq 0 \quad (\text{für } (0,0)) \quad (27)$$

$$w_1 \cdot 1 + w_2 \cdot 1 + b \leq 0 \quad (\text{für } (1,1)) \quad (28)$$

- Aus (1) und (3): $w_2 > -b \geq 0 \Rightarrow w_2 > 0$



Konstruktion von Neuronalen Netzen: Multi-Layer-Perceptron

- **Lösung des XOR-Problems:** Mehrschichtige Netze!
- **Komposition von Hyperebenen:**
 - Erste Schicht: Erzeugt mehrere lineare Entscheidungsgrenzen
 - Zweite Schicht: Kombiniert diese zu komplexeren Formen

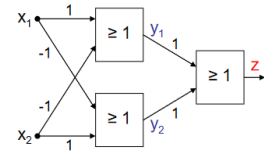
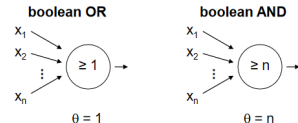
■ Mathematische Intuition für XOR:

$$h_1 = \sigma(x_1 + x_2 - 0.5) \quad (\text{OR-Gate}) \quad (29)$$

$$h_2 = \sigma(-x_1 - x_2 + 1.5) \quad (\text{NAND-Gate}) \quad (30)$$

$$\text{XOR} = \sigma(h_1 + h_2 - 1.5) \quad (31)$$

- **Universal Approximation:** Mit einer verdeckten Schicht können beliebige stetige Funktionen approximiert werden
- **Tiefe vs. Breite:** Tiefere Netze können effizienter sein als breitere



Training von Neuronalen Netzen: Multi-Layer-Perceptron

- **Multilayer Perceptron (MLP)**: Neuronales Netz mit versteckten Schichten
- Forward-Pass für 2-Schicht-Netz:

$$\mathbf{z}^{(1)} = \mathbf{W}^{(1)} \mathbf{x} + \mathbf{b}^{(1)} \quad (\text{lineare Transformation}) \quad (32)$$

$$\mathbf{a}^{(1)} = \sigma(\mathbf{z}^{(1)}) \quad (\text{Aktivierung}) \quad (33)$$

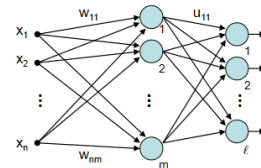
$$\mathbf{z}^{(2)} = \mathbf{W}^{(2)} \mathbf{a}^{(1)} + \mathbf{b}^{(2)} \quad (34)$$

$$\hat{\mathbf{y}} = \sigma(\mathbf{z}^{(2)}) \quad (35)$$

- Mean Squared Error (MSE) Loss:

$$L(\mathbf{W}, \mathbf{b}) = \frac{1}{n} \sum_{i=1}^n \|\hat{\mathbf{y}}_i - \mathbf{y}_i\|_2^2 \quad (36)$$

- Problem der Heaviside-Funktion: $H(x) = \begin{cases} 1 & x \geq 0 \\ 0 & x < 0 \end{cases}$ nicht differenzierbar
- Lösung: Glatte Aktivierungsfunktionen (Sigmoid, Tanh, ReLU)



Training von Neuronalen Netzen: Multi-Layer-Perceptron

■ Verlustfunktion:

$$f(\mathbf{w}) = \sum_{\mathbf{x} \in B} \|g(\mathbf{w}; \mathbf{x}) - g^*(\mathbf{x})\|^2 \rightarrow \min \quad (37)$$

■ mit dem Output des Netzes $g(\mathbf{w}; \mathbf{x})$ und dem erwarteten Output $g^*(\mathbf{x})$

■ Gradientenabstieg für alle Parameter:

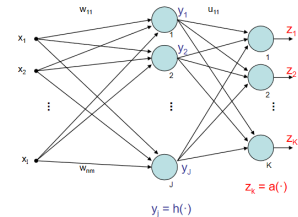
$$\mathbf{u}^{(t+1)} = \mathbf{u}^{(t)} - \gamma \nabla_{\mathbf{u}} f(\mathbf{w}^{(t)}, \mathbf{u}^{(t)}) \quad (38)$$

$$\mathbf{w}^{(t+1)} = \mathbf{w}^{(t)} - \gamma \nabla_{\mathbf{w}} f(\mathbf{w}^{(t)}, \mathbf{u}^{(t)}) \quad (39)$$

■ \mathbf{x}_i : Input-Vektoren

■ y_j : Werte nach dem ersten Layer

■ z_k : Werte nach dem zweiten Layer





Backpropagation: Grundidee

- **Backpropagation** [5]:

Effizienter Algorithmus zur Berechnung von Gradienten

- **Problem:** Wie berechnen wir $\frac{\partial L}{\partial w_{ij}}$ in tiefen Netzen?

- **Lösung:** Anwendung der **Kettenregel** der Differentiation:

$$\frac{\partial L}{\partial w_{ij}^{(\ell)}} = \frac{\partial L}{\partial z_j^{(\ell)}} \cdot \frac{\partial z_j^{(\ell)}}{\partial w_{ij}^{(\ell)}} \quad (40)$$

- Definition der **lokalen Gradienten** (Deltas):

$$\delta_j^{(\ell)} = \frac{\partial L}{\partial z_j^{(\ell)}} \quad (41)$$

- **Idee:** Berechne Fehler rückwärts durch das Netz



Backpropagation: Notation und Ablauf

■ Notation:

- L : Verlustfunktion, $a_j^{(\ell)}$: Aktivierung von Neuron j in Schicht ℓ
- $z_j^{(\ell)} = \sum_i w_{ij}^{(\ell)} a_i^{(\ell-1)} + b_j^{(\ell)}$: Eingabe vor Aktivierung
- $\delta_j^{(\ell)} = \frac{\partial L}{\partial z_j^{(\ell)}}$: Lokaler Gradient (Fehlerterm)

■ **Forward Pass:** Berechne Ausgaben für alle Schichten

■ **Backward Pass:** Berechne Gradienten rekursiv

■ **Output-Schicht:**

$$\delta_j^{(L)} = \frac{\partial L}{\partial a_j^{(L)}} \cdot \sigma'(z_j^{(L)}) \quad (42)$$

■ **Versteckte Schichten:**

$$\delta_j^{(\ell)} = \left(\sum_k \delta_k^{(\ell+1)} w_{jk}^{(\ell+1)} \right) \sigma'(z_j^{(\ell)}) \quad (43)$$



Backpropagation: Gradientenberechnung

■ Gradientenberechnung:

$$\frac{\partial L}{\partial w_{ij}^{(\ell)}} = \delta_j^{(\ell)} \cdot a_i^{(\ell-1)} \quad (44)$$

$$\frac{\partial L}{\partial b_j^{(\ell)}} = \delta_j^{(\ell)} \quad (45)$$

■ Interpretation:

- Gewicht-Gradient = lokaler Gradient \times Eingabeaktivierung
- Bias-Gradient = lokaler Gradient
- Effizienz: $O(W)$ statt $O(W^2)$ für numerische Differentiation

■ Komplexität:

Linear in der Anzahl der Parameter

MLP Training: Grundlagen

- Analog zum SLP: Gradientenabstieg zur Fehlerminimierung

- **Batch-Gradient:**

$$\nabla f(w, u) = \sum_{x, z^* \in B} \nabla f(w, u; x, z^*) \quad (46)$$

- **Sigmoid-Aktivierungsfunktion:**

$$\sigma(x) = \frac{1}{1 + e^{-x}} \quad \text{mit} \quad \sigma'(x) = \sigma(x) \cdot (1 - \sigma(x)) \quad (47)$$

- **Kettenregel:**

$$[f(g(x))]' = f'(g(x)) \cdot g'(x) \quad (48)$$

- **Fehlerterm (Delta):** $\delta_j = \frac{\partial L}{\partial z_j}$

MLP Training: Schritt 1 - Fehlerterm Output-Schicht

- **Ziel:** Berechne wie stark jedes Output-Neuron zum Gesamtfehler beiträgt
- **Verlustfunktion:** $L = \sum_k (z_k - z_k^*)^2$ (Mean Squared Error)
- **Schritt-für-Schritt Herleitung:**

1. Ableitung nach Aktivierung: $\frac{\partial L}{\partial z_k} = 2(z_k - z_k^*)$

2. Aktivierung: $z_k = \sigma(u_k) = \sigma(\sum_j u_{jk} y_j)$

3. Sigmoid-Ableitung: $\sigma'(u_k) = \sigma(u_k)(1 - \sigma(u_k)) = z_k(1 - z_k)$

4. Kettenregel: $\frac{\partial L}{\partial u_k} = \frac{\partial L}{\partial z_k} \cdot \frac{\partial z_k}{\partial u_k}$

- **Resultat - Fehlerterm Output:**

$$\delta_k^{(out)} = \frac{\partial L}{\partial u_k} = 2(z_k - z_k^*) \cdot z_k \cdot (1 - z_k) \quad (49)$$

MLP Training: Schritt 2 - Gradienten Output-Gewichte

- **Ziel:** Berechne Gradienten für Gewichte zwischen versteckter und Output-Schicht

- **Ausgangspunkt:** Wir haben $\delta_k^{(out)} = \frac{\partial L}{\partial u_k}$

- **Schritt-für-Schritt:**

1. **Netzinput:** $u_k = \sum_j u_{jk} \cdot y_j$ (Gewicht \times Aktivierung)

2. **Ableitung nach Gewicht:** $\frac{\partial u_k}{\partial u_{jk}} = y_j$

3. **Kettenregel anwenden:**

$$\frac{\partial L}{\partial u_{jk}} = \frac{\partial L}{\partial u_k} \cdot \frac{\partial u_k}{\partial u_{jk}} = \delta_k^{(out)} \cdot y_j \quad (50)$$

- **Interpretation:** Gradient = Fehlerterm \times Eingangssignal

- **Gewicht-Update:** $u_{jk}^{neu} = u_{jk}^{alt} - \eta \cdot \delta_k^{(out)} \cdot y_j$

MLP Training: Schritt 3 - Fehlerterm versteckte Schicht

- **Problem:** Wie berechnen wir Fehler für verdeckte Neuronen?
- **Idee:** Fehler "fließt rückwärts" von Output zu versteckter Schicht
- **Schritt-für-Schritt:**

1. Aktivierung versteckt: $y_j = \sigma(h_j)$ mit $h_j = \sum_i w_{ij}x_i$
2. Einfluss auf alle Outputs: y_j beeinflusst alle u_k über Gewichte u_{jk}
3. Kettenregel für mehrere Ausgänge:

$$\frac{\partial L}{\partial h_j} = \sum_k \frac{\partial L}{\partial u_k} \cdot \frac{\partial u_k}{\partial y_j} \cdot \frac{\partial y_j}{\partial h_j} \quad (51)$$

4. Einsetzen: $\frac{\partial u_k}{\partial y_j} = u_{jk}$ und $\frac{\partial y_j}{\partial h_j} = y_j(1 - y_j)$

- **Resultat:**

$$\delta_j^{(hidden)} = y_j(1 - y_j) \sum_k \delta_k^{(out)} \cdot u_{jk} \quad (52)$$



MLP Training: Schritt 4 - Gradienten versteckte Gewichte

- **Letzter Schritt:** Gradienten für Gewichte zwischen Input und versteckter Schicht
- **Analogie zum Output:** Gleiche Logik wie bei Output-Gewichten
- **Schritt-für-Schritt:**

1. **Wir haben:** $\delta_j^{(hidden)} = \frac{\partial L}{\partial h_j}$

2. **Netzinput:** $h_j = \sum_i w_{ij} \cdot x_i$

3. **Ableitung:** $\frac{\partial h_j}{\partial w_{ij}} = x_i$

4. **Kettenregel:**

$$\frac{\partial L}{\partial w_{ij}} = \frac{\partial L}{\partial h_j} \cdot \frac{\partial h_j}{\partial w_{ij}} = \delta_j^{(hidden)} \cdot x_i \quad (53)$$

- **Gewicht-Update:** $w_{ij}^{neu} = w_{ij}^{alt} - \eta \cdot \delta_j^{(hidden)} \cdot x_i$

- **Backpropagation komplett:** Fehler propagiert von Output zurück zum Input!



Verallgemeinerung Training von Neuronalen Netzen: M-Layer-Perceptron

- bei einem Neuronalen Netz mit L Layern S_1, S_2, \dots, S_L
- den Gewichten w_{ij} in der Matrix \mathbf{W}
- dem Output eines Neurons o_j
- ist der Fehlerterm:

$$\delta_j = \begin{cases} o_j \cdot (1 - o_j) \cdot (o_j - z_j^*) & \text{falls } j \in S_L \\ & (\text{Output-Neuron}) \\ o_j \cdot (1 - o_j) \cdot \sum_{k \in S_{m+1}} \delta_k \cdot w_{jk} & \text{falls } j \in S_m \\ & \text{und } m < L \end{cases}$$

- Der Korrekturterm für die einzelnen Gewichte ist dann:

$$w_{ij}^{(t+1)} = w_{ij}^{(t)} - \gamma \cdot o_i \cdot \delta_j \quad (54)$$



Fortgeschrittene Optimierungsalgorithmen

- **Momentum:** Beschleunigung in konsistente Richtungen

$$\mathbf{v}^{(t+1)} = \beta \mathbf{v}^{(t)} + \eta \nabla L(\theta^{(t)}) \quad (55)$$

$$\theta^{(t+1)} = \theta^{(t)} - \mathbf{v}^{(t+1)} \quad (56)$$

- **ADAM** [6] (Adaptive Moment Estimation) –

Kombination aus Momentum und RMSprop:

$$\mathbf{m}^{(t+1)} = \beta_1 \mathbf{m}^{(t)} + (1 - \beta_1) \nabla_{\theta} L^{(t)} \quad (57)$$

$$\mathbf{v}^{(t+1)} = \beta_2 \mathbf{v}^{(t)} + (1 - \beta_2) (\nabla_{\theta} L^{(t)})^2 \quad (58)$$

$$\hat{\mathbf{m}}^{(t)} = \frac{\mathbf{m}^{(t+1)}}{1 - \beta_1^{t+1}} \quad (\text{Bias-Korrektur}) \quad (59)$$

$$\hat{\mathbf{v}}^{(t)} = \frac{\mathbf{v}^{(t+1)}}{1 - \beta_2^{t+1}} \quad (\text{Bias-Korrektur}) \quad (60)$$

$$\theta^{(t+1)} = \theta^{(t)} - \frac{\eta}{\sqrt{\hat{\mathbf{v}}^{(t)}} + \epsilon} \hat{\mathbf{m}}^{(t)} \quad (61)$$

- Typische Hyperparameter: $\beta_1 = 0.9$, $\beta_2 = 0.999$, $\epsilon = 10^{-8}$



Warum "Deep" Learning? – Mathematische Rechtfertigung für tiefe Netze

- **Representation Learning:** Tiefere Netze lernen hierarchische Merkmalsdarstellungen
- **Mathematischer Vorteil:** Exponentiell weniger Parameter für dieselbe Expressivität
- **Kompositionelle Struktur:** Viele reale Funktionen haben hierarchische Struktur

$$f(\mathbf{x}) = g_L(g_{L-1}(\dots g_2(g_1(\mathbf{x}))\dots)) \quad (62)$$

- **Feature Learning:** Jede Schicht ℓ lernt Features der Form:

$$\mathbf{h}^{(\ell)} = \sigma(\mathbf{W}^{(\ell)} \mathbf{h}^{(\ell-1)} + \mathbf{b}^{(\ell)}) \quad (63)$$

- **Intuition:**

- Untere Schichten: Einfache Features (Kanten, Texturen)
- Mittlere Schichten: Kombinationen (Formen, Teile)
- Obere Schichten: Komplexe Konzepte (Objekte, Semantik)

Das Vanishing Gradient Problem – Warum tiefe Netze schwer zu trainieren sind

- **Problem:** Bei tiefen Netzen werden Gradienten exponentiell kleiner

- **Mathematische Analyse:**

Für Sigmoid-Aktivierung $\sigma'(x) \leq 0.25$

- Gradient in Schicht ℓ proportional zu:

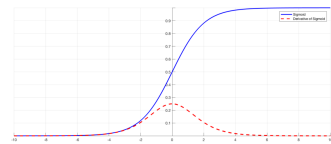
$$\frac{\partial L}{\partial \mathbf{W}^{(\ell)}} \propto \prod_{i=\ell+1}^L \mathbf{W}^{(i)} \sigma'(\mathbf{z}^{(i)}) \quad (64)$$

- Für $L - \ell$ Schichten: Faktor $\leq (0.25)^{L-\ell}$

- **Beispiel:** Bei 10 Schichten kann Gradient um Faktor 10^{-6} schrumpfen!

- **Lösungsansätze:**

- ReLU-Aktivierungen: $\text{ReLU}'(x) = 1$ für $x > 0$
- Residual Connections (ResNets)
- Normalization (BatchNorm, LayerNorm)
- Bessere Initialisierung (Xavier, He)



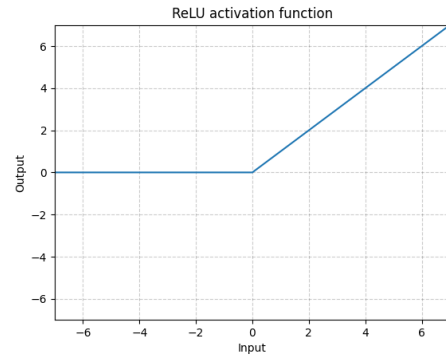
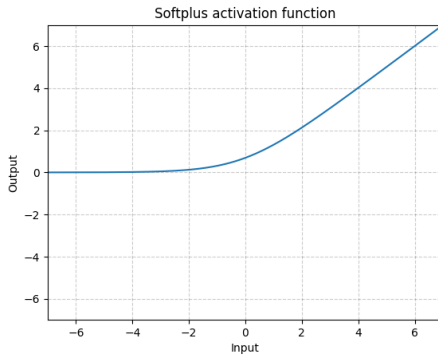
Aktivierungsfunktionen – Mathematische Eigenschaften und Warum sie wichtig sind

- **Sigmoid-Funktion:** $\sigma(x) = \frac{1}{1+e^{-x}}$, Ableitung: $\sigma'(x) = \sigma(x)(1 - \sigma(x))$
 - Glatt und differenzierbar, Ausgabe in $(0, 1)$
 - **Problem:** Vanishing Gradients für $|x| \gg 0$: $\sigma'(x) \rightarrow 0$
- **Tanh-Funktion:** $\tanh(x) = \frac{e^x - e^{-x}}{e^x + e^{-x}}$, Ableitung: $\tanh'(x) = 1 - \tanh^2(x)$
 - Ausgabe in $(-1, 1)$, zero-centered (bessere Konvergenz)
 - Ebenfalls Vanishing Gradient Problem
- **ReLU-Funktion [7]:** $\text{ReLU}(x) = \max(0, x)$, Ableitung: $\text{ReLU}'(x) = \begin{cases} 1 & x > 0 \\ 0 & x \leq 0 \end{cases}$
 - Löst Vanishing Gradient Problem für $x > 0$
 - Computationally efficient, führt zu sparse representations
 - **Problem:** "Dying ReLU" - Neuronen können "sterben" wenn $x \leq 0$
- **Warum Nichtlinearität essentiell ist:**

$$\text{Ohne } \sigma : f(\mathbf{x}) = \mathbf{W}_2(\mathbf{W}_1\mathbf{x}) = (\mathbf{W}_2\mathbf{W}_1)\mathbf{x} = \mathbf{W}_{\text{linear}}\mathbf{x} \quad (65)$$

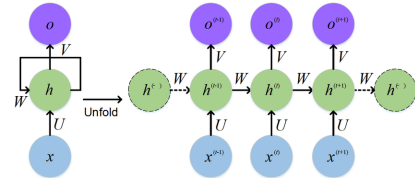
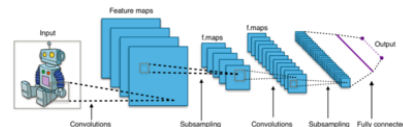


Häufige Aktivierungsfunktionen – Visualisierung



Weitere Netzwerk Architekturen

- spezielle Datenstrukturen profitieren von speziellen Architekturen
- Bilderkennung → Convolutional Neural Network (CNN)
- sequentielle Daten → Recurrent Neural Networks (RNN)
- im speziellen um Kausalität/Kontext herzustellen → Long Short Term Memory (LSTM)



Motivation: Warum spezielle Architekturen für Bilder?

■ Problem 1: Verlust räumlicher Information

- Ein MLP benötigt einen flachen Input-Vektor (Flattening).
- Ein Bild ist aber eine 2D-Matrix (Pixel-Nachbarschaften sind wichtig!).
- Durch Flattening geht die Information "Pixel A liegt neben Pixel B" verloren.

■ Problem 2: Parameter-Explosion (Curse of Dimensionality)

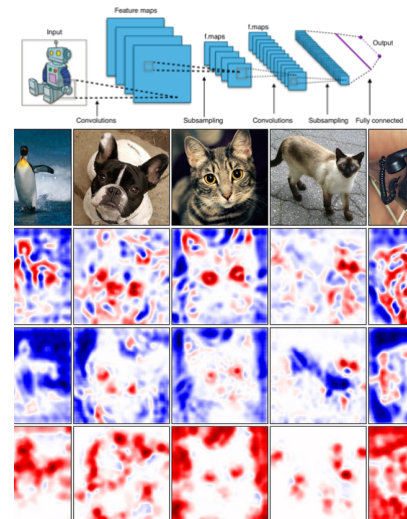
- Beispiel: Bild 1000×1000 Pixel = 1.000.000 Inputs.
- Erste Hidden Layer mit 1.000 Neuronen.
- Anzahl Gewichte: $10^6 \times 10^3 = 10^9$ (1 Milliarde Parameter!)
- **Folge:** Unmöglich zu trainieren, extremes Overfitting.

■ Lösung der Natur (Visueller Kortex):

- **Lokale Rezeptive Felder:** Neuronen schauen nur auf kleine Ausschnitte.
- **Translation Invariance:** Ein "Kanten-Detektor" funktioniert oben links genauso wie unten rechts.

Was sind Convolutional Neural Networks (CNNs)?

- **CNNs:** Speziell für räumliche Daten entwickelte neuronale Netze
- **Hauptanwendung:** Bildverarbeitung, Computer Vision
- **Grundidee:** Nutze lokale Strukturen in Bildern
- **Kernoperationen:**
 - **Convolution:** Filtere lokale Features
 - **Pooling:** Reduziere räumliche Dimensionen
 - **Fully Connected:** Klassifikation am Ende
- **Hierarchische Feature-Extraktion:**
 - **Layer 1:** Kanten, Ecken
 - **Layer 2:** Texturen, Formen
 - **Layer 3:** Objektteile
 - **Layer 4:** Vollständige Objekte
- **Vorteil:** Automatisches Lernen relevanter Features



CNN Grundoperationen: Convolution

■ Convolution Operation:

$$(f * g)(x, y) = \sum_m \sum_n f(m, n) \cdot g(x - m, y - n) \quad (66)$$

■ In CNNs:

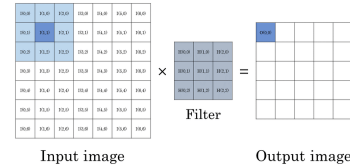
$$\text{Output}(i, j) = \sum_m \sum_n \text{Filter}(m, n) \cdot \text{Input}(i + m, j + n) \quad (67)$$

■ Filter (Kernel):

- Kleine Matrizen (z.B. 3x3, 5x5)
- Erkennen spezifische Muster
- Gewichte werden gelernt

■ Beispiel: Kantendetektor, Blur-Filter

■ Feature Maps: Ausgabe nach Convolution + Aktivierung



CNN Grundoperationen: Pooling

- **Was ist Pooling?** Reduziert die räumliche Größe der Feature Maps

- **Ziele:**

- **Dimensionsreduktion:** Weniger Parameter, schnellere Berechnung
- **Translation Invarianz:** Kleine Verschiebungen werden ignoriert
- **Überanpassung reduzieren:** Weniger Details = bessere Generalisierung

- **Max Pooling** (häufigste Variante):

$$\text{MaxPool}(\mathbf{X})_{i,j} = \max_{(p,q) \in N_{i,j}} \mathbf{X}_{p,q} \quad (68)$$

- **Average Pooling:**

$$\text{AvgPool}(\mathbf{X})_{i,j} = \frac{1}{|N_{i,j}|} \sum_{(p,q) \in N_{i,j}} \mathbf{X}_{p,q} \quad (69)$$

- **Typische Parameter:** 2x2 Fenster mit Stride 2 → Halbiert Dimensionen
- **Keine lernbaren Parameter:** Pooling-Operation ist fest definiert

- **Beispiel: 2x2 Max Pooling**

- **Input (4x4):**

$$\begin{pmatrix} 1 & 3 & 2 & 4 \\ 5 & 6 & 1 & 2 \\ 3 & 2 & 4 & 7 \\ 1 & 0 & 3 & 5 \end{pmatrix}$$

- **Output (2x2):**

$$\begin{pmatrix} 6 & 4 \\ 3 & 7 \end{pmatrix}$$

- **Jeder Wert** = Maximum des 2x2 Bereichs

Warum funktionieren CNNs? – Mathematische Prinzipien

- Drei Schlüsselprinzipien von CNNs:
- 1. Lokale Konnektivität: Jedes Neuron ist nur mit lokalem Bereich verbunden

$$y_{i,j}^{(\ell)} = \sigma \left(\sum_{m=-k}^k \sum_{n=-k}^k w_{m,n}^{(\ell)} \cdot x_{i+m, j+n}^{(\ell-1)} + b^{(\ell)} \right) \quad (70)$$

- 2. Parameter Sharing: Derselbe Filter \mathbf{W} wird über gesamte Feature-Map verwendet
 - Reduziert Parameter von $O(H \cdot W \cdot d^2)$ auf $O(k^2 \cdot d)$
 - Erzwingt Translationsinvarianz
- 3. Equivarianz zu Translationen: Wenn Input um \mathbf{t} verschoben wird, verschiebt sich Output ebenfalls um \mathbf{t}

$$\text{Conv}(T_{\mathbf{t}}[\mathbf{x}]) = T_{\mathbf{t}}[\text{Conv}(\mathbf{x})] \quad (71)$$

- Pooling führt zu begrenzter Translationsinvarianz:

$$\text{MaxPool}(\mathbf{X})_{i,j} = \max_{(p,q) \in N_{i,j}} \mathbf{X}_{p,q} \quad (72)$$

- Hierarchische Feature-Extraktion: Einfache \rightarrow Komplexe Features

Spezielle Netzwerkarchitekturen: CNN – Implementierung

- **Convolutional Neural Networks** [8]: Spezialisiert auf gitterförmige Daten (Bilder)

- **Faltungsoperation** (2D-Convolution):

$$(\mathbf{I} * \mathbf{K})_{i,j} = \sum_{m=0}^{M-1} \sum_{n=0}^{N-1} \mathbf{I}_{i+m, j+n} \cdot \mathbf{K}_{m,n} \quad (73)$$

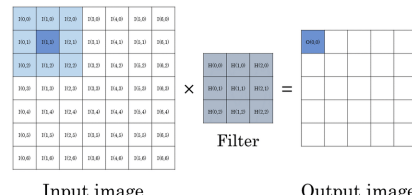
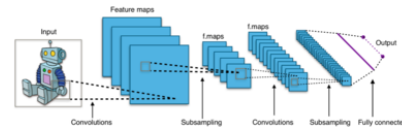
- **I**: Input-Feature-Map, **K**: Kernel (Filter) der Größe $M \times N$

- **Pooling**: Dimensionsreduktion, z.B. Max-Pooling:

$$\text{MaxPool}(\mathbf{X})_{i,j} = \max_{p,q \in P_{i,j}} \mathbf{X}_{p,q} \quad (74)$$

- **Parameter Sharing**: Derselbe Filter wird über gesamte Feature-Map angewendet

- **Translation Invariance**: Robustheit gegenüber Verschiebungen



CNN Training: Schritt 1a - Notation und Setup

■ **Ziel:** Berechne Ausgabe des CNN für einen Input

■ **Input:**

- Bild $\mathbf{X}^{(0)} \in \mathbb{R}^{H \times W \times C}$
- Dimensionen: Höhe \times Breite \times Kanäle

■ **Notation:**

- $\mathbf{W}_{m,n,c,k}^{(\ell)}$: Filter-Gewicht an Position (m, n)
- Indizes: Input-Kanal c , Output-Kanal k
- K : Filter-Größe (z.B. 3×3)
- $C^{(\ell)}$: Anzahl Kanäle in Schicht ℓ



CNN Training: Schritt 1b - Forward Pass Berechnung

Schritt-für-Schritt Berechnung:

1. Convolution Layer ℓ :

$$\begin{aligned} \mathbf{Z}_{i,j,k}^{(\ell)} = & \sum_{c=1}^{C^{(\ell-1)}} \sum_{m=1}^K \sum_{n=1}^K \mathbf{W}_{m,n,c,k}^{(\ell)} \cdot \mathbf{X}_{i+m-1,j+n-1,c}^{(\ell-1)} \\ & + b_k^{(\ell)} \end{aligned}$$

2. Aktivierung:

$$\mathbf{X}_{i,j,k}^{(\ell)} = \text{ReLU}(\mathbf{Z}_{i,j,k}^{(\ell)}) = \max(0, \mathbf{Z}_{i,j,k}^{(\ell)})$$

3. Pooling:

$$\mathbf{P}_{i,j,k}^{(\ell)} = \max_{(p,q) \in N_{i,j}} \mathbf{X}_{p,q,k}^{(\ell)}$$

4. Fully Connected:

$$\text{Flatten} \rightarrow \mathbf{y} = \text{Softmax}(\mathbf{W}_{fc} \mathbf{h} + \mathbf{b}_{fc})$$

CNN Training: Schritt 2a - Verlust und Output-Layer

■ Verlustfunktion:

- Wir verwenden meist Cross-Entropy für Klassifikation.
- Sei N die Batch-Größe und C die Anzahl der Klassen:

$$L = - \sum_{i=1}^N \sum_{c=1}^C y_{i,c} \log(\hat{y}_{i,c}) \quad (75)$$

■ Gradient für Output-Layer (Fully Connected):

- Dies ist identisch zum Standard-MLP (Backpropagation).
- Der Fehlerterm δ am Ausgang ist die Differenz zwischen Vorhersage und Label:

$$\frac{\partial L}{\partial \mathbf{W}_{fc}} = (\hat{\mathbf{y}} - \mathbf{y}_{true}) \mathbf{h}^T \quad (76)$$



CNN Training: Schritt 2b - Gradienten für Filter

■ Herausforderung:

- Wir haben Shared Weights! Ein Filter wird an vielen Positionen angewendet.
- Der Gradient für ein Filtergewicht ist die Summe der Gradienten von allen Positionen, wo es angewendet wurde.

■ Gradient für Convolution-Filter:

$$\frac{\partial L}{\partial \mathbf{W}_{m,n,c,k}^{(\ell)}} = \sum_{i,j} \underbrace{\frac{\partial L}{\partial \mathbf{Z}_{i,j,k}^{(\ell)}}}_{\text{Fehler an Output-Position}} \cdot \underbrace{\mathbf{X}_{i+m-1, j+n-1, c}^{(\ell-1)}}_{\text{Input an entsprechender Position}} \quad (77)$$

- ### ■ Intuition:
- Korrelation zwischen dem incoming Fehler und dem lokalen Input-Patch.

CNN Training: Schritt 3 - Backpropagation durch Convolution

- **Problem:** Wie berechnen wir $\frac{\partial L}{\partial \mathbf{X}^{(\ell-1)}}$ aus $\frac{\partial L}{\partial \mathbf{Z}^{(\ell)}}$?
- **Convolution ist linear:** Können Kettenregel anwenden
- **Schritt-für-Schritt Herleitung:**

1. **Forward Pass** (zur Erinnerung):

$$\mathbf{Z}_{i,j,k}^{(\ell)} = \sum_{c,m,n} \mathbf{W}_{m,n,c,k}^{(\ell)} \cdot \mathbf{X}_{i+m-1,j+n-1,c}^{(\ell-1)}$$

2. **Ableitung nach Input:**

$$\frac{\partial \mathbf{Z}_{i,j,k}^{(\ell)}}{\partial \mathbf{X}_{p,q,c}^{(\ell-1)}} = \mathbf{W}_{p-i+1,q-j+1,c,k}^{(\ell)}$$

3. **Kettenregel:**

$$\frac{\partial L}{\partial \mathbf{X}_{p,q,c}^{(\ell-1)}} = \sum_{i,j,k} \frac{\partial L}{\partial \mathbf{Z}_{i,j,k}^{(\ell)}} \cdot \mathbf{W}_{p-i+1,q-j+1,c,k}^{(\ell)}$$

- **Interpretation:** Backpropagation = Convolution mit "umgedrehten" Filtern
- **Implementierung:** Oft als "Transposed Convolution" bezeichnet

CNN Training: Schritt 4 - Backpropagation durch Pooling

- **Max Pooling Backpropagation:** Nur das Maximum bekommt den Gradienten
- **Schritt-für-Schritt für Max Pooling:**

1. **Forward:** $\mathbf{P}_{i,j,k} = \max_{(p,q) \in N_{i,j}} \mathbf{X}_{p,q,k}$
2. **Speichere Positionen:** Merke dir (p^*, q^*) wo Maximum war
3. **Backward:**

$$\frac{\partial L}{\partial \mathbf{X}_{p,q,k}} = \begin{cases} \frac{\partial L}{\partial \mathbf{P}_{i,j,k}} & \text{wenn } (p, q) = (p^*, q^*) \\ 0 & \text{sonst} \end{cases} \quad (78)$$

- **Average Pooling:** Gradient wird gleichmäßig verteilt

$$\frac{\partial L}{\partial \mathbf{X}_{p,q,k}} = \frac{1}{|N_{i,j}|} \frac{\partial L}{\partial \mathbf{P}_{i,j,k}} \quad (79)$$

- **Praktische Implementierung:** "Switch Variables" speichern Max-Positionen
- **Resultat:** Gradienten fließen nur zu den "wichtigsten" Neuronen zurück

CNN Training: Schritt 5 - Optimierung und praktische Aspekte

- **Gradient Descent Update:** Wie bei MLPs, aber für Filter-Gewichte

$$\mathbf{W}_{new}^{(\ell)} = \mathbf{W}_{old}^{(\ell)} - \eta \frac{\partial L}{\partial \mathbf{W}^{(\ell)}} \quad (80)$$

- **Batch Processing:** Trainiere mit Mini-Batches für Effizienz

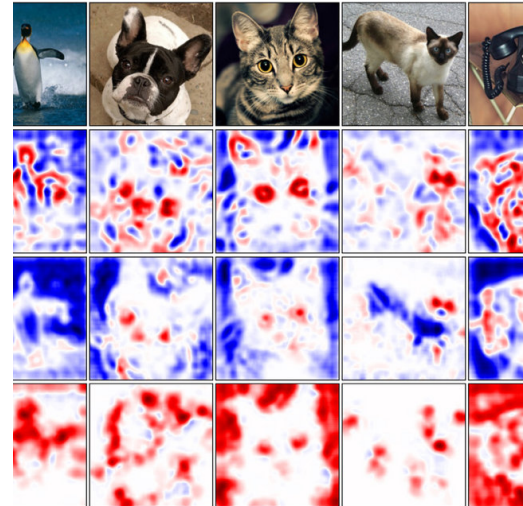
$$\frac{\partial L_{batch}}{\partial \mathbf{W}^{(\ell)}} = \frac{1}{B} \sum_{b=1}^B \frac{\partial L_b}{\partial \mathbf{W}^{(\ell)}} \quad (81)$$

- **Besondere Herausforderungen bei CNNs:**

- **Speicher:** Feature Maps können sehr groß werden
- **Initialisierung:** Filter richtig initialisieren
- **Learning Rate:** Oft kleiner als bei MLPs
- **Data Augmentation:** Rotation, Skalierung, Crop für mehr Daten
- **Moderne Optimierer:** Adam, RMSprop statt SGD
- **Regularisierung:** Dropout, Batch Normalization, Weight Decay

Spezielle Netzwerkarchitekturen: CNN

- Anschaulich: Formen werden erkannt
- Katzenohren sind anders als Hundeohren
- Verallgemeinerbar für andere Objektklassifizierungen
- für Details die XAI Vorlesung nächstes Semester



Motivation: Die Evolution von CNN-Architekturen

■ Warum schauen wir uns "alte" Netzwerke an?

- Moderne Architekturen (wie ConvNeXt, EfficientNet) basieren auf Ideen, die über Jahre entwickelt wurden.
- Um zu verstehen, warum Netze heute so aussehen, muss man die Evolutionsschritte kennen.

■ Die drei Äras des CNN-Designs:

- **Die Pionier-Phase (1998-2012):** LeNet, AlexNet. Beweis, dass es überhaupt funktioniert. Fokus auf Tiefe und GPUs.
- **Die Vertiefungs-Phase (2014-2015):** VGG, Inception, ResNet. "Deeper is better", aber wie trainieren wir das? (Skip Connections, kleine Filter).
- **Die Effizienz-Phase (2017-heute):** MobileNet, EfficientNet, Transformers. "Smarter is better". Fokus auf Rechenleistung und Parameter-Effizienz.



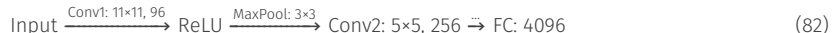
Historische CNN-Architekturen: AlexNet (2012) [10]

- **Durchbruch:** Gewinner ImageNet Challenge 2012 (Top-5 Error: 15.3%)

- **Architektur-Details:**

- 8 Schichten (5 Conv + 3 FC), 60 Millionen Parameter
- Input: $224 \times 224 \times 3$, Output: 1000 Klassen
- Erste GPU-Implementation für Deep Learning

- **Schicht-Struktur:**



- **Innovationen:**

- **ReLU-Aktivierung:** Statt Sigmoid/Tanh \rightarrow schnelleres Training
- **Dropout [9]:** Regularisierung in FC-Lagern ($p=0.5$)
- **Data Augmentation:** Random Crops, Horizontal Flips
- **Local Response Normalization:** Normalisierung zwischen Kanälen

- **Bedeutung:** Bewies Potenzial von Deep CNNs für Computer Vision



Moderne CNN-Architekturen: VGGNet (2014) [11]

■ **Philosophie:** "Deeper is better" - sehr tiefe Netzwerke (16-19 Schichten)

■ **Architektur-Prinzip:** Nur 3×3 Convolutions, 2×2 Max Pooling

■ **VGG-16 Struktur:**

Block 1: $2 \times (\text{Conv } 3 \times 3, 64) \rightarrow \text{MaxPool}$

Block 2: $2 \times (\text{Conv } 3 \times 3, 128) \rightarrow \text{MaxPool}$

Block 3: $3 \times (\text{Conv } 3 \times 3, 256) \rightarrow \text{MaxPool}$

Block 4: $3 \times (\text{Conv } 3 \times 3, 512) \rightarrow \text{MaxPool}$

Block 5: $3 \times (\text{Conv } 3 \times 3, 512) \rightarrow \text{MaxPool}$

FC: $4096 \rightarrow 4096 \rightarrow 1000$

(83)

■ **Warum 3×3 Filter?**

■ Zwei 3×3 Filter = ein 5×5 Filter (gleiche rezeptive Feldgröße)

■ Weniger Parameter: $2 \times (3^2 \times C^2) < 5^2 \times C^2$

■ Mehr Nichtlinearitäten durch zusätzliche ReLU-Schichten

■ **Problem:** Sehr viele Parameter (138M), langsames Training

Revolutionäre CNN-Architekturen: ResNet (2015) [13]

- **Problem:** Verschwindende Gradienten bei sehr tiefen Netzwerken (>20 Schichten)
- **Lösung:** Residual Connections (Skip Connections)
- (Schmidhuber notes: Highway Networks [12] enabled very deep networks using similar principles.)
- **Residual Block:**

$$\mathbf{y} = F(\mathbf{x}, \{W_i\}) + \mathbf{x} \quad (84)$$

$$\mathbf{H}(\mathbf{x}) = F(\mathbf{x}) + \mathbf{x}, \text{ wo } F(\mathbf{x}) = W_2 \sigma(W_1 \mathbf{x}) \quad (85)$$

- **Intuition:** Lerne die Residual-Funktion $F(\mathbf{x}) = \mathbf{H}(\mathbf{x}) - \mathbf{x}$
- **Gradient-Flow:** Skip Connections ermöglichen direkten Gradient-Fluss

$$\frac{\partial L}{\partial \mathbf{x}} = \frac{\partial L}{\partial \mathbf{y}} \left(\frac{\partial F}{\partial \mathbf{x}} + \mathbf{I} \right) \quad (86)$$

- **Varianten:** ResNet-34, ResNet-50, ResNet-101, ResNet-152
- **Bottleneck Design** (ResNet-50+): $1 \times 1 \rightarrow 3 \times 3 \rightarrow 1 \times 1$ für Effizienz
- **Erfolg:** Ermöglichte Training von 152-Schicht-Netzwerken



Effiziente CNN-Architekturen: MobileNet & EfficientNet

- **MobileNet (2017)** [14]: Optimiert für mobile Geräte
 - **Depthwise Separable Convolution:**

Standard Conv: $M \times N \times D_K \times D_K$ Parameter (87)

Depthwise Sep: $M \times D_K \times D_K + M \times N$ Parameter (88)

- **Reduktion:** Faktor $\frac{1}{N} + \frac{1}{D_K^2}$ (z.B. 8-9× weniger Parameter)
- **Width Multiplier:** $\alpha \in (0, 1]$ für Modell-Skalierung

- **EfficientNet (2019)** [15]: Systematisches Netzwerk-Scaling
 - **Compound Scaling:** Gleichzeitige Skalierung von Tiefe, Breite, Auflösung

depth: $d = \alpha^\phi$, width: $w = \beta^\phi$, resolution: $r = \gamma^\phi$ (89)

- **Constraint:** $\alpha \cdot \beta^2 \cdot \gamma^2 \approx 2$, $\alpha \geq 1, \beta \geq 1, \gamma \geq 1$
- **EfficientNet-B0 bis B7:** Verschiedene Skalierungsstufen



Vision Transformer: CNN-Alternative (2020) [16]

- **Paradigmenwechsel:** Transformer-Architektur für Computer Vision
- **Grundidee:** Bild als Sequenz von Patches behandeln
- **Patch Embedding:**

$$\text{Image } \mathbf{X} \in \mathbb{R}^{H \times W \times C} \rightarrow \text{Patches } \mathbf{x}_p \in \mathbb{R}^{N \times (P^2 \cdot C)} \quad (90)$$

$$\mathbf{z}_0 = [\mathbf{x}_{\text{class}}; \mathbf{x}_p^1 \mathbf{E}; \mathbf{x}_p^2 \mathbf{E}; \dots; \mathbf{x}_p^N \mathbf{E}] + \mathbf{E}_{\text{pos}} \quad (91)$$

- **Self-Attention:** Patches "kommunizieren" miteinander

$$\text{Attention}(\mathbf{Q}, \mathbf{K}, \mathbf{V}) = \text{softmax} \left(\frac{\mathbf{Q}\mathbf{K}^T}{\sqrt{d_k}} \right) \mathbf{V} \quad (92)$$

- **Vorteile:**
 - Globale Aufmerksamkeit von Anfang an (vs. lokale CNN-Filter)
 - Bessere Skalierung mit Datenmengen
 - Transfer Learning von NLP
- **Nachteile:** Benötigt sehr große Datenmengen, weniger induktive Biases

CNN-Architekturen: Zusammenfassung und Trends

■ Entwicklung der CNN-Architekturen:

- **2012 AlexNet:** Beweis dass Deep Learning funktioniert
- **2014 VGGNet:** Deeper Networks, kleinere Filter
- **2015 ResNet:** Skip Connections lösen Vanishing Gradient Problem
- **2017 MobileNet:** Effizienz für mobile Anwendungen
- **2019 EfficientNet:** Systematisches Model Scaling
- **2020 Vision Transformer:** Alternative zu CNNs

■ Aktuelle Trends:

- **Hybrid-Architekturen:** CNNs + Transformers (ConvNeXt, CoAtNet)
- **Neural Architecture Search (NAS):** Automatisches Design
- **Self-Supervised Learning:** Weniger gelabelte Daten
- **Multimodal Models:** Vision + Language (CLIP, DALL-E)

■ Auswahlkriterien:

- **Accuracy:** ResNet, EfficientNet, Vision Transformer
- **Speed:** MobileNet, ShuffleNet
- **Memory:** MobileNet, SqueezeNet
- **Interpretability:** Klassische CNNs mit Attention

Motivation: Warum Sequenzmodelle?

■ Das Limit von Feedforward Netzen (MLPs):

- Erwarten Eingabe fester Größe (z.B. genau 100 Features).
- Haben kein "Gedächtnis" für Vorheriges (stateless).
- Betrachten alle Eingaben gleichzeitig, nicht nacheinander.

■ Realität sequentieller Daten:

- Text, Audio, Zeitreihen, Video haben zeitliche Abhängigkeiten.
- Kontext ist entscheidend: "Die Bank am Fluss" vs. "Die Bank zahlt Zinsen".
- Variable Länge der Eingabe.

■ Idee der Rekurrenz:

- Das Netzwerk verarbeitet Input Schritt für Schritt.
- Es erhält einen "internen Zustand" (Memory), der Kontext speichert.
- **Recycling:** Wir nutzen **dieselben Gewichte** für jeden Zeitschritt!

Spezielle Netzwerkarchitekturen: RNN

- Anschaulich: Schleife in Netzwerk "merkt" sich vorherige Zustände (Elman Networks [17])

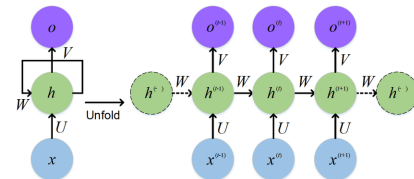
- funktioniert für kurze Zeiträume

- Entfaltung eines RNN → viele zu trainierende Gewichte

- Problem: langfristige Zusammenhänge werden nicht erfasst

- **Problem: Verschwindende Gradienten** [18, 19]:

- Backpropagation Through Time (BPTT) multipliziert Gewichtsmatrix W oft hintereinander (W^t).
- Wenn $|\text{Eigenwert}| < 1 \rightarrow$ Gradient geht exponentiell gegen 0.
- Wenn $|\text{Eigenwert}| > 1 \rightarrow$ Explodierende Gradienten.
- Frühe Schichten lernen nichts mehr.

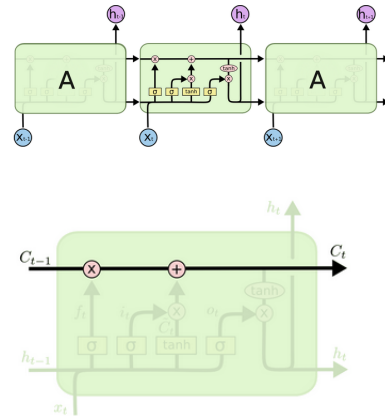


Training von RNNs: Backpropagation Through Time (BPTT)

- **Konzept** [20] (vgl. [21]): Ein RNN über T Zeitschritte ist äquivalent zu einem Feedforward-Netzwerk mit T Schichten (unrolled).
- **Shared Weights**: Die Gewichtsmatrix W ist in jedem "Zeitschritt-Layer" identisch.
- **Ablauf**:
 1. **Forward Pass**: Berechne Zustände h_t und Outputs y_t sequentiell von $t = 0$ bis T .
 2. **Loss**: Berechne Gesamtfehler (z.B. Summe der Fehler zu jedem Zeitpunkt).
 3. **Backward Pass**: Propagiere den Fehler vom letzten Zeitschritt T rückwärts durch die Zeit bis $t = 0$.
- Dies erklärt, warum Gradientenprobleme so gravierend sind: Der Fehler muss durch sehr viele Multiplikationen mit W zurücklaufen.

Spezielle Netzwerkarchitekturen: LSTM

- **Long Short-Term Memory** [22]: Lösung des Vanishing Gradient Problems in RNNs
- **Cell State C_t** : Langzeit-Gedächtnis der LSTM-Zelle
- **Hidden State h_t** : Kurzzeit-Output der Zelle
- Drei Gating-Mechanismen kontrollieren Informationsfluss:
 - Forget Gate: Welche Informationen vergessen?
 - Input Gate: Welche neuen Informationen speichern?
 - Output Gate: Welche Teile des Cell States ausgeben?



LSTM: Mathematische Formulierung

- **Forget Gate:** Entscheidet, welche Informationen aus \mathbf{C}_{t-1} gelöscht werden

$$f_t = \sigma(\mathbf{W}_f \cdot [\mathbf{h}_{t-1}, \mathbf{x}_t] + \mathbf{b}_f) \quad (93)$$

- **Input Gate:** Bestimmt neue Informationen für Cell State

$$i_t = \sigma(\mathbf{W}_i \cdot [\mathbf{h}_{t-1}, \mathbf{x}_t] + \mathbf{b}_i) \quad (94)$$

$$\tilde{\mathbf{C}}_t = \tanh(\mathbf{W}_c \cdot [\mathbf{h}_{t-1}, \mathbf{x}_t] + \mathbf{b}_c) \quad (95)$$

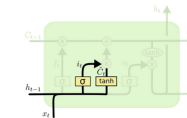
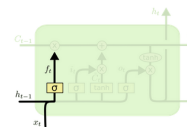
- **Cell State Update:**

$$\mathbf{C}_t = f_t \odot \mathbf{C}_{t-1} + i_t \odot \tilde{\mathbf{C}}_t \quad (96)$$

- **Output Gate und Hidden State:**

$$o_t = \sigma(\mathbf{W}_o \cdot [\mathbf{h}_{t-1}, \mathbf{x}_t] + \mathbf{b}_o) \quad (97)$$

$$\mathbf{h}_t = o_t \odot \tanh(\mathbf{C}_t) \quad (98)$$



LSTM: Cell State Update und Output

- **Cell State Update:** Kombination von alten und neuen Informationen

$$C_t = f_t \odot C_{t-1} + i_t \odot \tilde{C}_t \quad (99)$$

- **Output Gate:** Bestimmt, welche Teile des Cell States ausgegeben werden

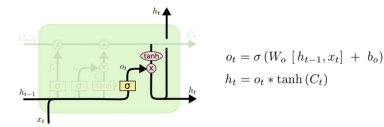
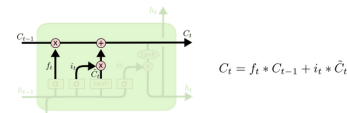
$$o_t = \sigma(W_o \cdot [h_{t-1}, x_t] + b_o) \quad (100)$$

- **Hidden State:** Gefilterte Version des Cell States

$$h_t = o_t \odot \tanh(C_t) \quad (101)$$

■ Warum funktioniert LSTM?

- Cell State kann Informationen über viele Zeitschritte transportieren
- Gates kontrollieren selektiv Informationsfluss
- Löst das Vanishing Gradient Problem von Standard-RNNs



Ausblick: Grenzen von RNNs und die Attention Revolution

■ Das Flaschenhals-Problem von LSTMs:

- Auch LSTMs müssen den gesamten Kontext in einen Vektor fester Größe quetschen.
- Bei sehr langen Sequenzen (z.B. Dokumenten) gehen Details verloren.

■ Der Paradigmenwechsel: Attention Mechanism:

- **Idee:** Statt sich alles zu merken, lernt das Netz, bei jedem Schritt auf die relevanten Teile des Inputs zurückzuschauen.
- Analogie: Beim Übersetzen eines Satzes schaut man für das Wort "Bank" gezielt auf den Kontext "Fluss", um es korrekt zu übersetzen.

■ Transformers:

- "Attention is All You Need" (2017) [23]
- (Schmidhuber notes: "Fast Weight Programmers" (1992) [24] pioneered the linear attention mechanism.)
- Basis für alle modernen LLMs (GPT, Llama, Claude).

■ Hinweis:

Detaillierte Behandlung von Attention und Transformers erfolgt im Modul "**Generative AI / LLMs**" im nächsten Semester!



Spezielle Netzwerkarchitekturen: Autoencoder - Motivation

■ Das Problem mit Labels:

- Supervised Learning braucht gelabelte Daten (x, y).
- Labels sind teuer und rar. Unbekannte Daten sind massenhaft vorhanden.

■ Idee des Unsupervised Learning:

- Können wir das Netzwerk zwingen, die **Struktur** der Daten zu lernen?
- Aufgabe: "Lerne, den Input x auf sich selbst abzubilden: $f(x) \approx x$ ".

■ Der Trick mit dem Flaschenhals (Bottleneck):

- Wenn wir einfach $f(x) = x$ (Identität) lernen, passiert nichts Spannendes.
- Wir zwingen die Daten durch eine **sehr kleine Schicht** in der Mitte.
- Analogie: Ein Buch in einen Absatz zusammenfassen (Encoder) und aus dem Absatz das Buch rekonstruieren (Decoder).
- Nur die allerwichtigsten Informationen (Latent Features) überleben den Flaschenhals.

Autoencoder: Grundlagen und Mathematik

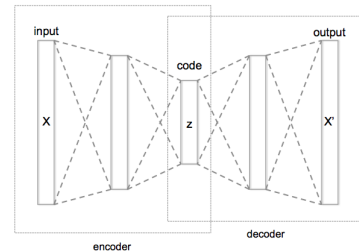
- **Autoencoder:** Unsupervised Learning zur Dimensionsreduktion und Rekonstruktion
- **Encoder:** $z = f_{enc}(x; \theta_{enc})$ - Komprimierung in latenten Raum
- **Decoder:** $\hat{x} = f_{dec}(z; \theta_{dec})$ - Rekonstruktion aus latenter Repräsentation
- **Verlustfunktion:** Rekonstruktionsfehler

$$L(x, \hat{x}) = ||x - \hat{x}||^2 \quad (102)$$

- **Latenter Raum $z \in \mathbb{R}^d$** mit $d \ll$ Eingabedimension

Anwendungen:

- Dimensionsreduktion (wie PCA, aber nichtlinear)
- Anomaly Detection (hoher Rekonstruktionsfehler)
- Denoising (rauschhafte Eingaben, saubere Ziele)
- Feature Learning für Downstream-Tasks





Exkurs: Statistische Grundlagen & Bayesian Deep Learning

■ Bayesian Neural Networks (BNN) [25]:

- Gewichte sind keine festen Zahlen, sondern Wahrscheinlichkeitsverteilungen.
- **Interpretation:** Ein BNN verhält sich wie ein unendliches Ensemble möglicher Modelle.
- **Vorteil:** Durch mehrere Forward-Passes (Sampling) erhält man eine **Unsicherheitsschätzung** der Vorhersage.

■ Wichtige Begriffe für Variational Autoencoders (VAEs):

- **Prior $p(z)$:** A-priori-Wissen über die latenten Variablen (z. B. $z \sim N(0, I)$). Was wir annehmen, bevor wir Daten sehen.
- **Likelihood $p(x|z)$:** Wie wahrscheinlich sind die Daten x , gegeben die latente Variable z ? (Decoder-Perspektive).
- **Posterior $p(z|x)$:** Wahrscheinlichkeitsverteilung von z , nachdem wir das Datum x beobachtet haben. (Encoder-Ziel).

Variational Autoencoders (VAEs): Motivation

- **Problem klassischer Autoencoders:** Latenter Raum ist nicht interpretierbar oder strukturiert
- **Ziel der VAEs:** Lernen einer **probabilistischen** latenten Repräsentation
- **Generative Modellierung:** $p(\mathbf{x}) = \int p(\mathbf{x}|\mathbf{z})p(\mathbf{z})d\mathbf{z}$
- **Bayessche Perspektive:**
 - Prior: $p(\mathbf{z}) = N(\mathbf{0}, \mathbf{I})$ (Standard-Normalverteilung)
 - Likelihood: $p(\mathbf{x}|\mathbf{z})$ durch Decoder-Netzwerk
 - Posterior: $p(\mathbf{z}|\mathbf{x})$ durch Encoder-Netzwerk approximiert
- **Herausforderung:** $p(\mathbf{z}|\mathbf{x})$ ist analytisch nicht berechenbar
- **Lösung:** Variational Inference mit **Evidence Lower Bound (ELBO)**
- **Vorteil:** Latenter Raum ist **kontinuierlich** und **interpolierbar**
- **Anwendungen:** Bildgenerierung, Data Augmentation, Semi-Supervised Learning

VAEs: Mathematische Grundlagen

- **Variational Inference:** Approximiere $p(\mathbf{z}|\mathbf{x})$ durch $q_\phi(\mathbf{z}|\mathbf{x})$
- **Evidence Lower Bound (ELBO):**

$$\log p(\mathbf{x}) \geq \mathbb{E}_{q_\phi(\mathbf{z}|\mathbf{x})}[\log p_\theta(\mathbf{x}|\mathbf{z})] - D_{KL}(q_\phi(\mathbf{z}|\mathbf{x})||p(\mathbf{z})) \quad (103)$$

- **Zwei Terme der Verlustfunktion:**
 - **Rekonstruktionsverlust:** $\mathbb{E}_{q_\phi(\mathbf{z}|\mathbf{x})}[\log p_\theta(\mathbf{x}|\mathbf{z})]$
 - **Regularisierungsterm:** $D_{KL}(q_\phi(\mathbf{z}|\mathbf{x})||p(\mathbf{z}))$
- **Encoder:** $q_\phi(\mathbf{z}|\mathbf{x}) = N(\mu_\phi(\mathbf{x}), \text{diag}(\sigma_\phi^2(\mathbf{x})))$
- **Decoder:** $p_\theta(\mathbf{x}|\mathbf{z}) = N(\mu_\theta(\mathbf{z}), \sigma_\theta^2 \mathbf{I})$
- **KL-Divergenz** (analytisch berechenbar für Gauß'sche Verteilungen):

$$D_{KL} = \frac{1}{2} \sum_{j=1}^d (1 + \log(\sigma_j^2) - \mu_j^2 - \sigma_j^2) \quad (104)$$

VAEs: Reparameterization Trick

- **Problem:** Stochastisches Sampling $\mathbf{z} \sim q_\phi(\mathbf{z}|\mathbf{x})$ ist nicht differenzierbar
- **Lösung:** Reparameterization Trick (Kingma & Welling, 2013)
- **Statt:** $\mathbf{z} \sim N(\mu, \sigma^2)$
- **Verwende:**

$$\epsilon \sim N(\mathbf{0}, \mathbf{I}) \quad (\text{deterministisches Rauschen}) \tag{105}$$

$$\mathbf{z} = \mu + \sigma \odot \epsilon \quad (\text{deterministische Transformation}) \tag{106}$$

- **Vorteil:** Gradienten können durch μ und σ zurückpropagiert werden
- **Praktische Implementierung:**
 - Encoder gibt $\mu(\mathbf{x})$ und $\log \sigma^2(\mathbf{x})$ aus
 - Sample $\epsilon \sim N(\mathbf{0}, \mathbf{I})$
 - Berechne $\mathbf{z} = \mu + \exp\left(\frac{1}{2} \log \sigma^2\right) \odot \epsilon$
 - Führe \mathbf{z} durch Decoder
- **Trainingsalgorithmus:** Standard-Backpropagation mit stochastischem Gradienten!

VAEs: Eigenschaften und Anwendungen

- **Interpolation im latenten Raum:** Glatte Übergänge zwischen Datenpunkten

$$\mathbf{z}_{\text{interp}} = \alpha \mathbf{z}_1 + (1 - \alpha) \mathbf{z}_2, \quad \alpha \in [0, 1] \quad (107)$$

- **Generierung neuer Daten:** Sample $\mathbf{z} \sim N(\mathbf{0}, \mathbf{I})$, dann $\mathbf{x}_{\text{new}} = \text{Decoder}(\mathbf{z})$
- **Disentangled Representations:** Verschiedene Dimensionen von \mathbf{z} kodieren verschiedene Eigenschaften
- **Anwendungen:**
 - **Computer Vision:** Gesichtsgenerierung, Style Transfer
 - **NLP:** Text Generation, Sentence Interpolation
 - **Drug Discovery:** Molekularstruktur-Generation
 - **Anomaly Detection:** Niedrige Likelihood → Anomalie
 - **Data Augmentation:** Generierung synthetischer Trainingsdaten
- **Varianten:**
 - β -VAE: $\beta \cdot D_{KL}$ für bessere Disentanglement
 - Conditional VAE: $p(\mathbf{x}|\mathbf{y}, \mathbf{z})$ mit Labels \mathbf{y}
 - Hierarchical VAE: Mehrere latente Schichten

Generative Adversarial Networks (GANs): Motivation

■ Die Idee vom perfekten Fälscher:

- VAEs erzeugen oft verschwommene Bilder (wegen Mean Squared Error).
- Wie erzeugen wir **gestochen scharfe** Bilder?
- **Idee:** Anstatt eine statische Verlustfunktion zu nutzen, **lernen** wir die Verlustfunktion!

■ Das Konzept des "Adversarial Training":

- Wir stellen zwei Netzwerke gegeneinander auf (wie in einem Spiel).
- (Schmidhuber notes: The adversarial principle was introduced as "Artificial Curiosity" [26].)
- Ein Netz versucht zu fälschen, das andere versucht, die Fälschung zu entlarven.
- Durch diesen Wettbewerb schaukeln sich beide hoch.

■ Anwendungen:

- Fotorealistische Gesichter (siehe thispersondoesnotexist.com).
- Super-Resolution (Upscaling von alten Filmen/Fotos).
- Style Transfer (Mache aus einem Foto ein Gemälde).

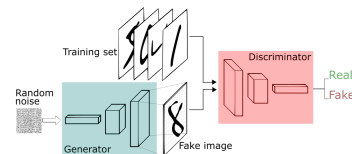
Generative Adversarial Networks (GANs): Grundprinzip [27]

- **Grundidee:** Zwei neuronale Netze konkurrieren miteinander
 - **Generator G:** Erzeugt "gefälschte" Daten aus Rauschen
 - **Discriminator D:** Unterscheidet echte von gefälschten Daten
- **Adversarial Training:** Spieltheoretischer Ansatz

$$\min_G \max_D V(D, G) = \mathbb{E}_{x \sim p_{data}(x)}[\log D(x)] + \mathbb{E}_{z \sim p_z(z)}[\log(1 - D(G(z)))] \quad (108)$$

■ Training Process:

1. **Discriminator Training:** Maximiere $V(D, G)$
 - Lerne echte Daten als "echt" zu klassifizieren
 - Lerne generierte Daten als "gefälscht" zu erkennen
2. **Generator Training:** Minimiere $V(D, G)$
 - Erzeuge Daten, die den Discriminator "täuschen"



GAN Training: Mathematische Details

- **Discriminator Loss** (Binary Cross-Entropy):

$$L_D = -\mathbb{E}_{x \sim p_{data}} [\log D(x)] - \mathbb{E}_{z \sim p_z} [\log(1 - D(G(z)))] \quad (109)$$

- **Generator Loss** (Ursprünglich):

$$L_G = \mathbb{E}_{z \sim p_z} [\log(1 - D(G(z)))] \quad (110)$$

- **Problem:** Vanishing Gradients bei schlechtem Generator

- **Praktische Generator Loss** (Non-saturating):

$$L_G = -\mathbb{E}_{z \sim p_z} [\log D(G(z))] \quad (111)$$

- **Nash-Gleichgewicht:** Theoretisch optimal wenn:

$$D^*(x) = \frac{p_{data}(x)}{p_{data}(x) + p_g(x)} = \frac{1}{2} \quad (112)$$

wenn $p_g = p_{data}$ (Generator erzeugt perfekte Datenverteilung)

GAN Varianten und Verbesserungen

■ Deep Convolutional GANs (DCGANs) [28]:

- Verwendung von Convolutional Layers
- Batch Normalization, LeakyReLU
- Bessere Stabilität für Bildgenerierung

■ Wasserstein GAN (WGAN) [29]:

- Earth Mover Distance statt JS-Divergenz
- Stabileres Training, bessere Konvergenz-Eigenschaften
- **Lipschitz-Constraint:** Kritisch für WGAN-Theorie

■ Conditional GANs (cGANs) [30]:

- Bedingung auf Labels: $G(z|y)$, $D(x|y)$
- Kontrollierte Generierung spezifischer Klassen

■ StyleGAN [31]:

- Latent Space Manipulation
- Progressive Growing, Style Transfer
- State-of-the-art für hochauflösende Gesichter

WGAN und die Lipschitz-Constraint: Kurz erklärt

- **Problem bei Standard GANs:** Training instabil, Gradients verschwinden
- **WGAN Lösung:** Verwende Wasserstein-Distanz statt JS-Divergenz
- **Lipschitz-Constraint:**
 - **Einfach gesagt:** Discriminator darf nicht "zu steil" werden
 - **Mathematisch:** $|f(x_1) - f(x_2)| \leq L \cdot |x_1 - x_2|$
 - **Warum nötig?** Wasserstein-Distanz erfordert beschränkte Funktionen
- **Praktische Umsetzung:**
 - **Weight Clipping:** Einfach, aber problematisch
 - **Gradient Penalty:** Moderne Lösung - bestraft zu steile Gradienten
 - **Spectral Normalization:** Normalisiert Netzwerk-Gewichte
- **Resultat:** Stabileres Training, bessere Konvergenz
- **Take-away:** Theoretische Constraints führen zu praktischen Verbesserungen

GAN Herausforderungen und Lösungsansätze

■ Training Instabilität:

- **Problem:** Discriminator wird zu gut → Generator bekommt keine Gradienten
- **Lösung:** Balanced Training, Learning Rate Scheduling

■ Mode Collapse:

- **Problem:** Generator erzeugt nur wenige Modi der Datenverteilung
- **Lösung:** Unrolled GANs, Diversity-encouraging Loss Terms

■ Evaluation Metrics:

- **Inception Score (IS):** Misst Bildqualität und Diversität
- **Fréchet Inception Distance (FID):** Vergleicht Feature-Statistiken
- **Precision & Recall:** Qualität vs. Diversität Trade-off

■ Praktische Tipps:

- Feature Matching, Experience Replay
- Spectral Normalization, Self-Attention
- Progressive Growing für hohe Auflösungen

GANs vs. VAEs: Vergleich der generativen Modelle

■ Generative Adversarial Networks (GANs):

- Adversarial Training: Generator vs. Discriminator
- Sehr scharfe, realistische Bilder
- Training instabil, Mode Collapse möglich
- Kein Encoder - keine direkte latente Repräsentation von Daten

■ Variational Autoencoders (VAEs):

- Likelihood-basiertes Training mit ELBO
- Verschwommene Bilder durch Gauss-Annahme
- Stabiles Training, theoretisch fundiert
- Bidirektional: Encoding und Decoding möglich

■ Praktische Wahl:

- **GANs:** Wenn Bildqualität wichtigster Faktor
- **VAEs:** Wenn interpretierbare latente Repräsentation wichtig
- **Hybrid-Modelle:** VAE-GAN kombiniert beide Ansätze

Wann Deep Learning? Wann klassisches Machine Learning?

■ Deep Learning ist sinnvoll bei:

- **Große Datenmengen:** > 10.000 Samples (je mehr, desto besser)
- **Komplexe Muster:** Bilder, Audio, Text, Sequenzen
- **Hierarchische Strukturen:** Features müssen automatisch gelernt werden
- **Raw Data:** Wenig/keine Feature-Engineering nötig
- **End-to-End Learning:** Von Rohdaten zur Entscheidung
- **Ausreichend Rechenkapazität:** GPUs verfügbar

■ Klassisches ML ist besser bei:

- **Kleine Datenmengen:** < 1.000 Samples
- **Strukturierte/tabellarische Daten:** Features sind bereits bekannt
- **Interpretierbarkeit wichtig:** Entscheidungen müssen erklärbar sein
- **Schnelle Inferenz:** Real-time Anwendungen mit Latenz-Constraints
- **Begrenzte Ressourcen:** Wenig Rechenleistung/Speicher
- **Gut definierte Features:** Domain-Wissen kann genutzt werden

Praktische Entscheidungshilfe: Deep Learning vs. klassisches ML

■ Beispiele für Deep Learning:

- **Computer Vision:** Objekterkennung, medizinische Bildanalyse
- **NLP:** Sprachübersetzung, Chatbots, Sentiment Analysis
- **Predictive Maintenance:** Sensordaten, Zeitreihen mit vielen Features
- **Generative Tasks:** Bild-/Texterstellung, Data Augmentation

■ Beispiele für klassisches ML:

- **Tabellarische Daten:** Kreditscoring, Kundenklassifikation
- **Einfache Klassifikation:** Mit wenigen, gut verstandenen Features
- **Regression:** Preisvorhersage, wissenschaftliche Analysen
- **Clustering:** Kundensegmentierung, Anomalieerkennung

■ Hybride Ansätze:

- **Feature-Extraktion:** Deep Learning für Features + klassisches ML für Klassifikation
- **Ensemble:** Kombination verschiedener Ansätze
- **Transfer Learning:** Pretrained Models + Domain-spezifische Anpassung

■ Praktischer Tipp:

Beginne mit einfachsten Methoden, steigere Komplexität schrittweise

Zusammenfassung: Was haben wir gelernt?

- **Die Macht tiefer Netze:** Sie können komplexe Funktionen durch hierarchische Feature-Extraktion lernen. Tiefe ist hierbei oft effizienter als Breite.
- **Spezialisierung ist der Schlüssel:**
 - **CNNs:** Nutzen lokale Strukturen und Translation Invariance für Bilder. Convolution spart Parameter und lernt Kanten, Formen, Objekte.
 - **RNNs/LSTMs:** Modellieren Sequenzen und Zeitabhängigkeiten durch internen Status (Memory).
 - **Autoencoders:** Lernen komprimierte Repräsentationen ohne Labels (Unsupervised).
 - **GANs:** Erzeugen neue Daten durch einen Wettbewerb zweier Netze.
- **Das Fundament:**
 - Alles basiert auf linearer Algebra (Matrizen), Calculus (Gradienten) und Optimierung (Backpropagation).
 - Training ist ein iterativer Prozess der Fehlerminimierung (Loss Landscape).



Ausblick und Zukunft des Deep Learning

■ Der Trend zu Foundation Models:

- Weg von "Ein Modell pro Aufgabe" hin zu "Ein Modell für alles".
- Transfer Learning wird Standard (Pre-training auf riesigen Daten, Fine-tuning für den speziellen Fall).

■ Generative AI & LLMs:

- Transformers (Attention) haben RNNs fast vollständig abgelöst.
- Modelle verstehen nicht nur Syntax, sondern auch Semantik und Kontext.
- → Mehr dazu in der kommenden Vorlesung "Generative AI"!

■ Herausforderungen:

- Energieverbrauch und Modellgröße.
- Erklärbarkeit (Black Box Problem) und Fairness/Bias.
- Robustheit gegen Adversarial Attacks.

References I

-  G. Cybenko, "Approximation by superpositions of a sigmoidal function," *Mathematics of control, signals and systems*, vol. 2, no. 4, pp. 303–314, 1989.
-  K. Hornik, "Approximation capabilities of multilayer feedforward networks," *Neural networks*, vol. 4, no. 2, pp. 251–257, 1991.
-  F. Rosenblatt, "The perceptron: a probabilistic model for information storage and organization in the brain," *Psychological review*, vol. 65, no. 6, pp. 386–408, 1958.
-  M. Minsky and S. Papert, *Perceptrons: An introduction to computational geometry*. MIT press, 1969.
-  D. E. Rumelhart, G. E. Hinton, and R. J. Williams, "Learning representations by back-propagating errors," *Nature*, vol. 323, no. 6088, pp. 533–536, 1986.
-  D. P. Kingma and J. Ba, "Adam: A method for stochastic optimization," *arXiv preprint arXiv:1412.6980*, 2014.
-  V. Nair and G. E. Hinton, "Rectified linear units improve restricted boltzmann machines," in *Proceedings of the 27th international conference on machine learning (ICML-10)*, pp. 807–814, 2010.
-  Y. LeCun, L. Bottou, Y. Bengio, and P. Haffner, "Gradient-based learning applied to document recognition," *Proceedings of the IEEE*, vol. 86, no. 11, pp. 2278–2324, 1998.

References II

-  N. Srivastava, G. Hinton, A. Krizhevsky, I. Sutskever, and R. Salakhutdinov, "Dropout: a simple way to prevent neural networks from overfitting," *The journal of machine learning research*, vol. 15, no. 1, pp. 1929–1958, 2014.
-  A. Krizhevsky, I. Sutskever, and G. E. Hinton, "Imagenet classification with deep convolutional neural networks," in *Advances in neural information processing systems*, vol. 25, pp. 1097–1105, 2012.
-  K. Simonyan and A. Zisserman, "Very deep convolutional networks for large-scale image recognition," *arXiv preprint arXiv:1409.1556*, 2014.
-  R. K. Srivastava, K. Greff, and J. Schmidhuber, "Highway networks," *arXiv preprint arXiv:1505.00387*, 2015.
-  K. He, X. Zhang, S. Ren, and J. Sun, "Deep residual learning for image recognition," in *Proceedings of the IEEE conference on computer vision and pattern recognition*, pp. 770–778, 2016.
-  A. G. Howard, M. Zhu, B. Chen, D. Kalenichenko, W. Wang, T. Weyand, M. Andreetto, and H. Adam, "Mobilenets: Efficient convolutional neural networks for mobile vision applications," *arXiv preprint arXiv:1704.0486*, 2017.
-  M. Tan and Q. Le, "Efficientnet: Rethinking model scaling for convolutional neural networks," in *International conference on machine learning*, pp. 6105–6114, 2019.
-  A. Dosovitskiy, L. Beyer, A. Kolesnikov, D. Weissenborn, X. Zhai, T. Unterthiner, M. Dehghani, M. Minderer, G. Heigold, S. Gelly, et al., "An image is worth 16x16 words: Transformers for image recognition at scale," *arXiv preprint arXiv:2010.11929*, 2020.

References III

-  J. L. Elman, "Finding structure in time," *Cognitive science*, vol. 14, no. 2, pp. 179–211, 1990.
-  S. Hochreiter, "Untersuchungen zu dynamischen neuronalen netzen," in *Diploma thesis. Institut für Informatik, Technische Universität München*, 1991.
-  Y. Bengio, P. Simard, and P. Frasconi, "Learning long-term dependencies with gradient descent is difficult," *IEEE transactions on neural networks*, vol. 5, no. 2, pp. 157–166, 1994.
-  P. J. Werbos, "Backpropagation through time: what it does and how to do it," *Proceedings of the IEEE*, vol. 78, no. 10, pp. 1550–1560, 1990.
-  J. Schmidhuber, "Deep learning in neural networks: An overview," *Neural networks*, vol. 61, pp. 85–117, 2015.
-  S. Hochreiter and J. Schmidhuber, "Long short-term memory," *Neural computation*, vol. 9, no. 8, pp. 1735–1780, 1997.
-  A. Vaswani, N. Shazeer, N. Parmar, J. Uszkoreit, L. Jones, A. N. Gomez, Ł. Kaiser, and I. Polosukhin, "Attention is all you need," *Advances in neural information processing systems*, vol. 30, 2017.
-  J. Schmidhuber, "Learning to control fast-weight memories: An alternative to dynamic recurrent networks," *Neural Computation*, vol. 4, no. 1, pp. 131–139, 1992.
-  R. M. Neal, *Bayesian learning for neural networks*, vol. 118. Springer, 1996.



References IV

-  J. Schmidhuber, "Making the world differentiable: On using self-supervised fully recurrent neural networks for dynamic reinforcement learning and planning in non-stationary environments," in Technical Report FKI-126-90, TU Munich, 1990.
-  I. Goodfellow, J. Pouget-Abadie, M. Mirza, B. Xu, D. Warde-Farley, S. Ozair, A. Courville, and Y. Bengio, "Generative adversarial nets," in Advances in neural information processing systems, vol. 27, 2014.
-  A. Radford, L. Metz, and S. Chintala, "Unsupervised representation learning with deep convolutional generative adversarial networks," arXiv preprint arXiv:1511.06434, 2015.
-  M. Arjovsky, S. Chintala, and L. Bottou, "Wasserstein gan," in International conference on machine learning, pp. 214–223, 2017.
-  M. Mirza and S. Osindero, "Conditional generative adversarial nets," arXiv preprint arXiv:1411.1784, 2014.
-  T. Karras, S. Laine, and T. Aila, "A style-based generator architecture for generative adversarial networks," in Proceedings of the IEEE/CVF conference on computer vision and pattern recognition, pp. 4401–4410, 2019.